

Starkniederschlagshöhen und -spenden gemäß KOSTRA-DWD-2010R

Auswertungszeitraum von 1951 - 2010, Januar - Dezember

Rasterfeld: 102041

Zeile: 102

Spalte: 41

Seite: 1/2

| Dauerstufe D | Wiederkehrzeit T | | | | | | | | | | | | | | | | | | |
|--------------|------------------|------|------------|-------|------------|-------|------------|-------|------------|-------|------------|-------|------------|-------|------------|-------|------------|-------|------------|
| | 1 a | | 2 a | | 3 a | | 5 a | | 10 a | | 20 a | | 30 a | | 50 a | | 100 a | | |
| min | Std | mm | l / (s ha) | mm | l / (s ha) | mm | l / (s ha) | mm | l / (s ha) | mm | l / (s ha) | mm | l / (s ha) | mm | l / (s ha) | mm | l / (s ha) | mm | l / (s ha) |
| 5 | | 5,6 | 186,7 | 7,0 | 233,3 | 7,9 | 263,3 | 8,9 | 296,7 | 10,4 | 346,7 | 11,8 | 393,3 | 12,7 | 423,3 | 13,8 | 460,0 | 15,2 | 506,7 |
| 10 | | 8,9 | 148,3 | 11,0 | 183,3 | 12,3 | 205,0 | 13,9 | 231,7 | 16,0 | 266,7 | 18,1 | 301,7 | 19,4 | 323,3 | 21,0 | 350,0 | 23,1 | 385,0 |
| 15 | | 11,1 | 123,3 | 13,8 | 153,3 | 15,3 | 170,0 | 17,3 | 192,2 | 20,0 | 222,2 | 22,7 | 252,2 | 24,2 | 268,9 | 26,2 | 291,1 | 28,9 | 321,1 |
| 20 | | 12,7 | 105,8 | 15,8 | 131,7 | 17,7 | 147,5 | 20,0 | 166,7 | 23,1 | 192,5 | 26,3 | 219,2 | 28,1 | 234,2 | 30,4 | 253,3 | 33,6 | 280,0 |
| 30 | | 14,8 | 82,2 | 18,7 | 103,9 | 21,0 | 116,7 | 23,9 | 132,8 | 27,9 | 155,0 | 31,8 | 176,7 | 34,1 | 189,4 | 37,0 | 205,6 | 41,0 | 227,8 |
| 45 | | 16,6 | 61,5 | 21,5 | 79,6 | 24,4 | 90,4 | 28,1 | 104,1 | 33,0 | 122,2 | 37,9 | 140,4 | 40,8 | 151,1 | 44,5 | 164,8 | 49,4 | 183,0 |
| 60 | | 17,7 | 49,2 | 23,5 | 65,3 | 26,9 | 74,7 | 31,2 | 86,7 | 37,0 | 102,8 | 42,7 | 118,6 | 46,1 | 128,1 | 50,4 | 140,0 | 56,2 | 156,1 |
| 90 | | 20,8 | 38,5 | 27,2 | 50,4 | 31,0 | 57,4 | 35,7 | 66,1 | 42,1 | 78,0 | 48,5 | 89,8 | 52,2 | 96,7 | 57,0 | 105,6 | 63,4 | 117,4 |
| 120 | 2 | 23,3 | 32,4 | 30,2 | 41,9 | 34,2 | 47,5 | 39,3 | 54,6 | 46,2 | 64,2 | 53,1 | 73,8 | 57,1 | 79,3 | 62,1 | 86,3 | 69,0 | 95,8 |
| 180 | 3 | 27,4 | 25,4 | 35,0 | 32,4 | 39,5 | 36,6 | 45,1 | 41,8 | 52,7 | 48,8 | 60,3 | 55,8 | 64,7 | 59,9 | 70,3 | 65,1 | 77,9 | 72,1 |
| 240 | 4 | 30,7 | 21,3 | 38,9 | 27,0 | 43,7 | 30,3 | 49,7 | 34,5 | 57,9 | 40,2 | 66,0 | 45,8 | 70,8 | 49,2 | 76,8 | 53,3 | 85,0 | 59,0 |
| 360 | 6 | 36,1 | 16,7 | 45,1 | 20,9 | 50,4 | 23,3 | 57,1 | 26,4 | 66,1 | 30,6 | 75,1 | 34,8 | 80,4 | 37,2 | 87,1 | 40,3 | 96,1 | 44,5 |
| 540 | 9 | 42,4 | 13,1 | 52,4 | 16,2 | 58,3 | 18,0 | 65,6 | 20,2 | 75,6 | 23,3 | 85,6 | 26,4 | 91,4 | 28,2 | 98,8 | 30,5 | 108,7 | 33,5 |
| 720 | 12 | 47,6 | 11,0 | 58,3 | 13,5 | 64,6 | 15,0 | 72,5 | 16,8 | 83,2 | 19,3 | 93,9 | 21,7 | 100,2 | 23,2 | 108,1 | 25,0 | 118,8 | 27,5 |
| 1080 | 18 | 55,9 | 8,6 | 67,8 | 10,5 | 74,7 | 11,5 | 83,4 | 12,9 | 95,3 | 14,7 | 107,1 | 16,5 | 114,0 | 17,6 | 122,8 | 19,0 | 134,6 | 20,8 |
| 1440 | 24 | 62,7 | 7,3 | 75,4 | 8,7 | 82,9 | 9,6 | 92,2 | 10,7 | 105,0 | 12,2 | 117,7 | 13,6 | 125,1 | 14,5 | 134,5 | 15,6 | 147,2 | 17,0 |
| 2880 | 48 | 79,8 | 4,6 | 94,8 | 5,5 | 103,6 | 6,0 | 114,6 | 6,6 | 129,6 | 7,5 | 144,7 | 8,4 | 153,4 | 8,9 | 164,5 | 9,5 | 179,5 | 10,4 |
| 4320 | 72 | 91,8 | 3,5 | 108,2 | 4,2 | 117,7 | 4,5 | 129,8 | 5,0 | 146,2 | 5,6 | 162,5 | 6,3 | 172,1 | 6,6 | 184,1 | 7,1 | 200,5 | 7,7 |

Angaben in mm: Bemessungsniederschlagswerte h(n)

Angaben in l / (s ha): Regenspende R(n) mit $R(n) = h(n) \times 1,666667 / D[\text{min}]$

Toleranzbereiche:

+/- 10 % für $1 \text{ a} \leq T \leq 5 \text{ a}$

+/- 15 % für $5 \text{ a} < T \leq 50 \text{ a}$

+/- 20 % für $50 \text{ a} < T \leq 100 \text{ a}$

Datenbasis: KOSTRA-DWD-2010R des Deutschen Wetterdienstes. Die Regenspende wurde auf Basis des Bemessungsniederschlags zur jeweiligen Andauer berechnet.

Für die Richtigkeit und Aktualität der Angaben wird keine Gewähr übernommen. Erstellt 07/2022.

Starkniederschlagshöhen und -spenden gemäß KOSTRA-DWD-2010R

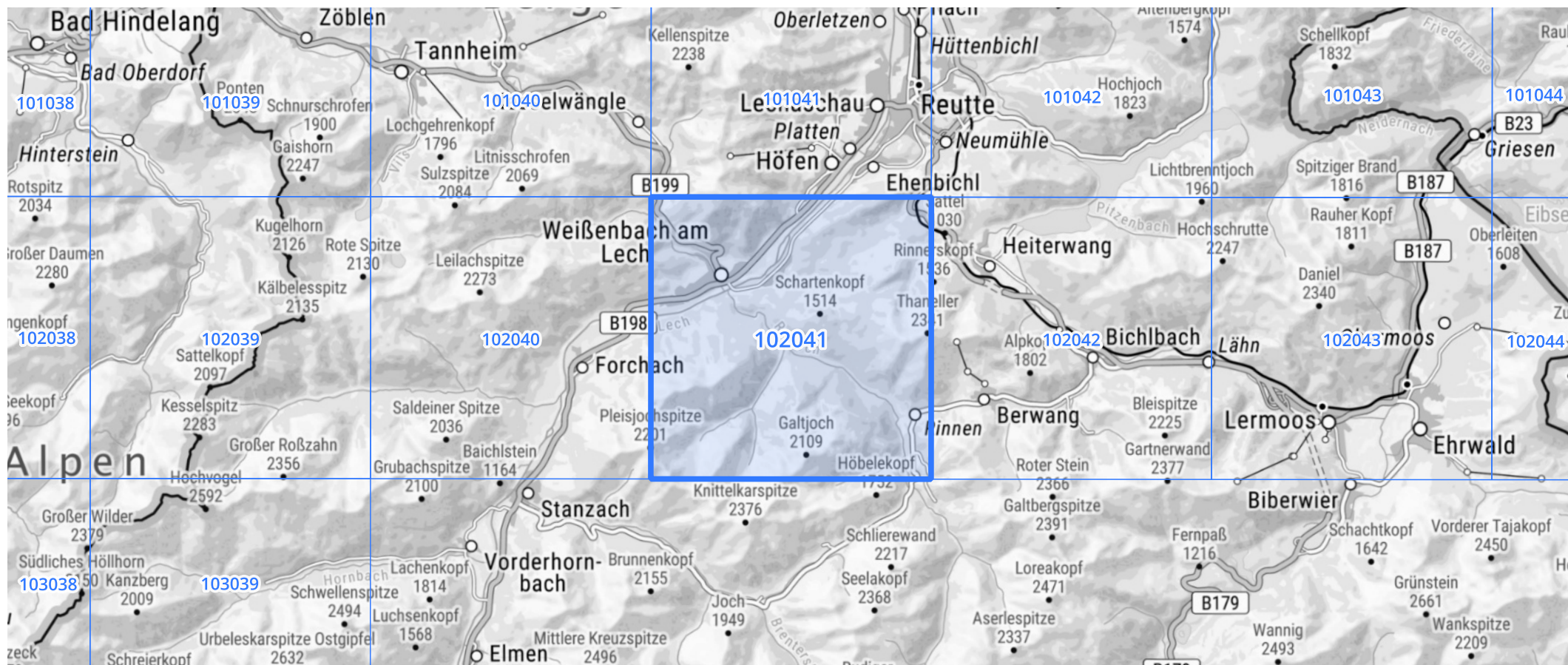
Auswertungszeitraum von 1951 - 2010, Januar - Dezember

Rasterfeld: 102041

Zeile: 102

Spalte: 41

Seite: 2/2



Quelle Rasterdaten: KOSTRA-DWD-2010R des Deutschen Wetterdienstes.

Kartendarstellung: © Bundesamt für Kartographie und Geodäsie (2022), Datenquellen: https://sgx.geodatenzentrum.de/web_public/gdz/datenquellen/Datenquellen_TopPlusOpen.html

Für die Richtigkeit und Aktualität der Angaben wird keine Gewähr übernommen. Erstellt 07/2022.